

Einige Klassen von Flächen

Bernhard Steiner
Markus Rymarz

Aufbau der Präsentation:

- Minimalflächen
- Regelflächen
- Drehflächen
- Röhrenflächen

Minimalflächen

Joseph-Louis Lagrange (1736-1813):

Gibt es zu einer gegebenen geschlossenen Kurve in \mathbb{R}^3 eine Fläche $S \subseteq \mathbb{R}^3$, welche von der Kurve berandet wird und unter allen solchen Flächen kleinsten Inhalt hat?

Joseph Antoine Ferdinand Plateau (1801-1883):

- Experimente

Jesse Douglas (1897-1965); Tibor Radó (1895-1965):

- Allgemein gültiger Existenzbeweis

Münchner Olympiastadion:



http://de.wikipedia.org/wiki/Olympiastadion_M%C3%BCnchen#mediaviewer/File:2014_Olympiastadion_Munich.jpg

Urban Loritz-Platz:



© M. Nikolic

<http://www.tw-arch.at/index.php?id=36>

Korollar 3.8.9. Sei $S \subseteq \mathbb{R}^3$ eine reguläre Fläche mit kompaktem Abschluss \overline{S} . Wir nehmen an, dass S minimalen Flächeninhalt hat unter allen regulären Flächen \tilde{S} mit demselben Rand $\partial\tilde{S} = \partial S$.

Dann gilt für das mittlere Krümmungsfeld \mathcal{H} von S

$$\mathcal{H} \equiv (0, 0, 0)^\top.$$

Definition 3.6.9.: Sei $S \subseteq \mathbb{R}^3$ eine orientierte reguläre Fläche, sei $p \in S$ ein Punkt. Seien κ_1 und κ_2 die Hauptkrümmung von S in p . Dann ist

$$K(P) := \kappa_1 \cdot \kappa_2 = \det(W_p)$$

die *Gauß-Krümmung* von S in p . Ferner heißt

$$H(p) := \frac{\kappa_1 + \kappa_2}{2} = \frac{1}{2} \text{Spur}(W_p)$$

mittlere Krümmung von S in p .

Das mittlere Krümmungsfeld \mathcal{H} ist definiert durch $\mathcal{H} := H \cdot N$, wobei N das Normalenfeld ist.

Korollar 3.8.9.: Sei $S \subseteq \mathbb{R}^3$ eine reguläre Fläche mit kompaktem Abschluss \overline{S} . Wir nehmen an, dass S minimalen Flächeninhalt hat unter allen regulären Flächen \tilde{S} mit demselben Rand $\partial\tilde{S} = \partial S$.

Dann gilt für das mittlere Krümmungsfeld \mathcal{H} von S

$$\mathcal{H} \equiv (0, 0, 0)^\top.$$

Definition 3.8.10. *Eine reguläre Fläche $S \subseteq \mathbb{R}^3$ heißt Minimalfläche, falls*

$$\mathcal{H} \equiv (0, 0, 0)^\top.$$

Bemerkungen:

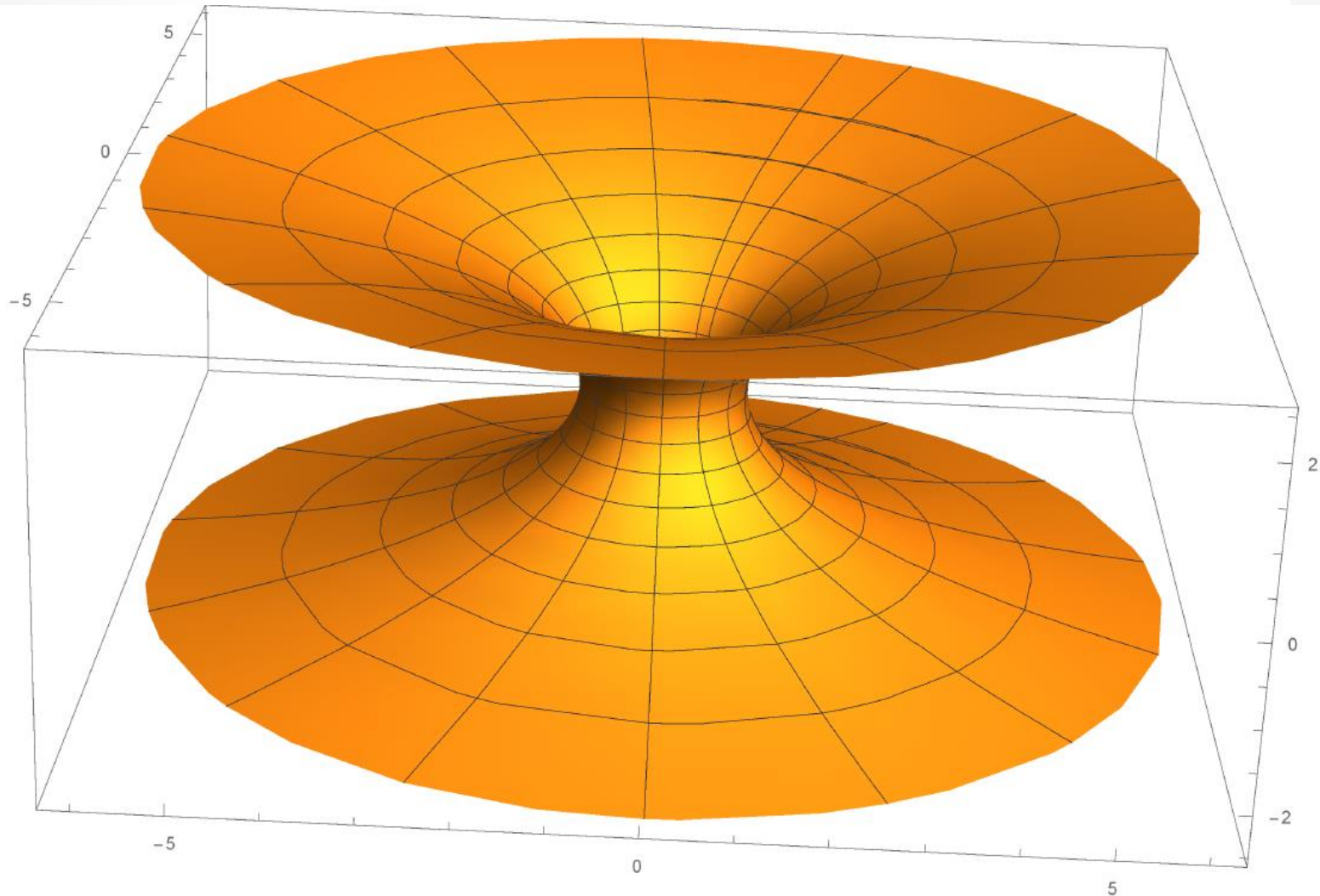
- Minimalflächen müssen nicht unbedingt flächenminimierend sein. Es handelt sich bei $\mathcal{H} \equiv (0, 0, 0)^\top$ nur um eine notwendige Bedingung!
- Ist die Fläche S orientierbar, so gibt es ein glattes Einheitsnormalenfeld N auf S . Dann gilt außerdem für das mittlere Krümmungsfeld auch: $\mathcal{H} = H \cdot N$. Die Minimalflächenbedingung lautet dann aber $H \equiv 0$.

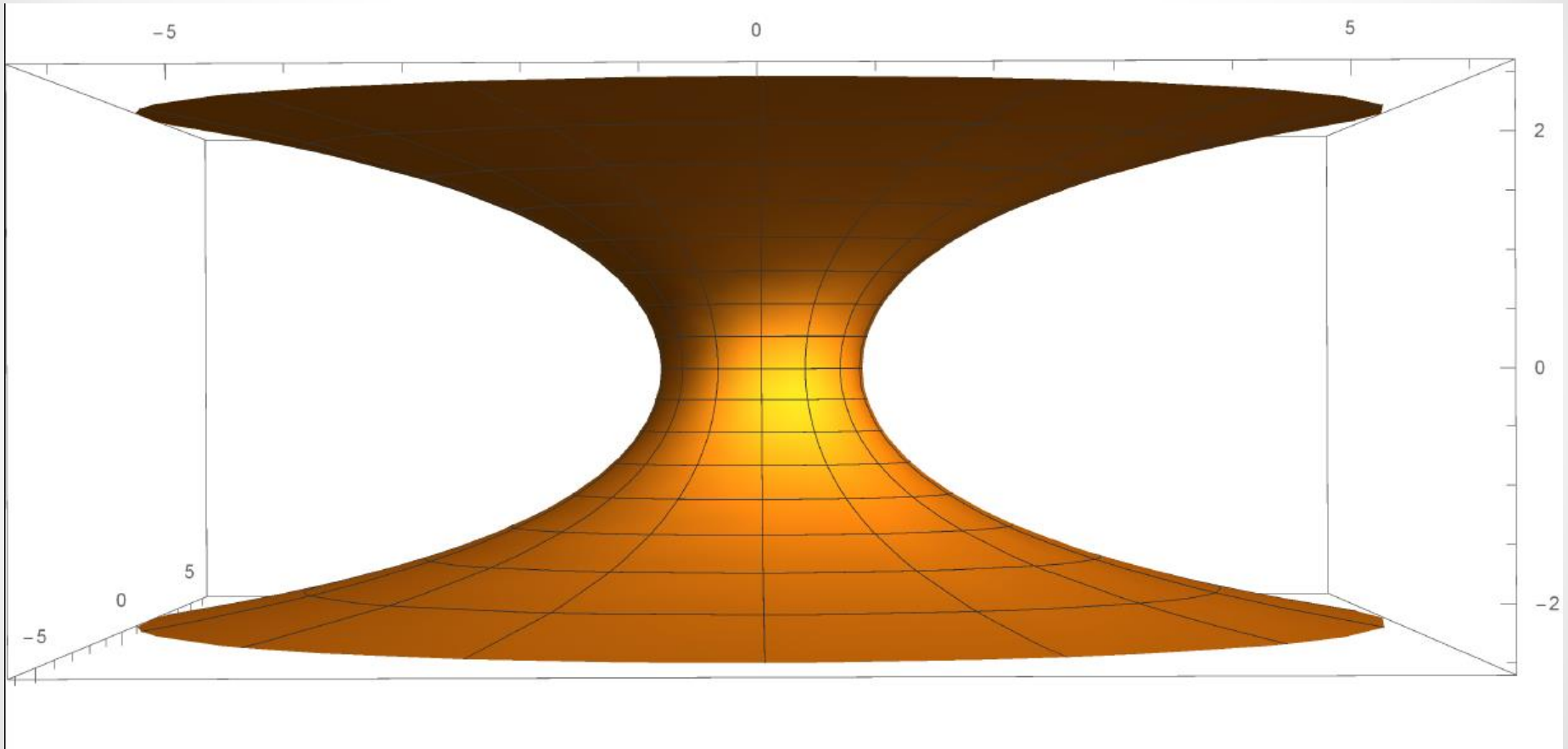
Beispiele

Kettenfläche (Katenoid):

$$F : \mathbb{R}^2 \rightarrow \mathbb{R}^3$$

$$F(u^1, u^2) = \begin{pmatrix} \cosh(u^1) \cos(u^2) \\ \cosh(u^1) \sin(u^2) \\ u^1 \end{pmatrix}$$

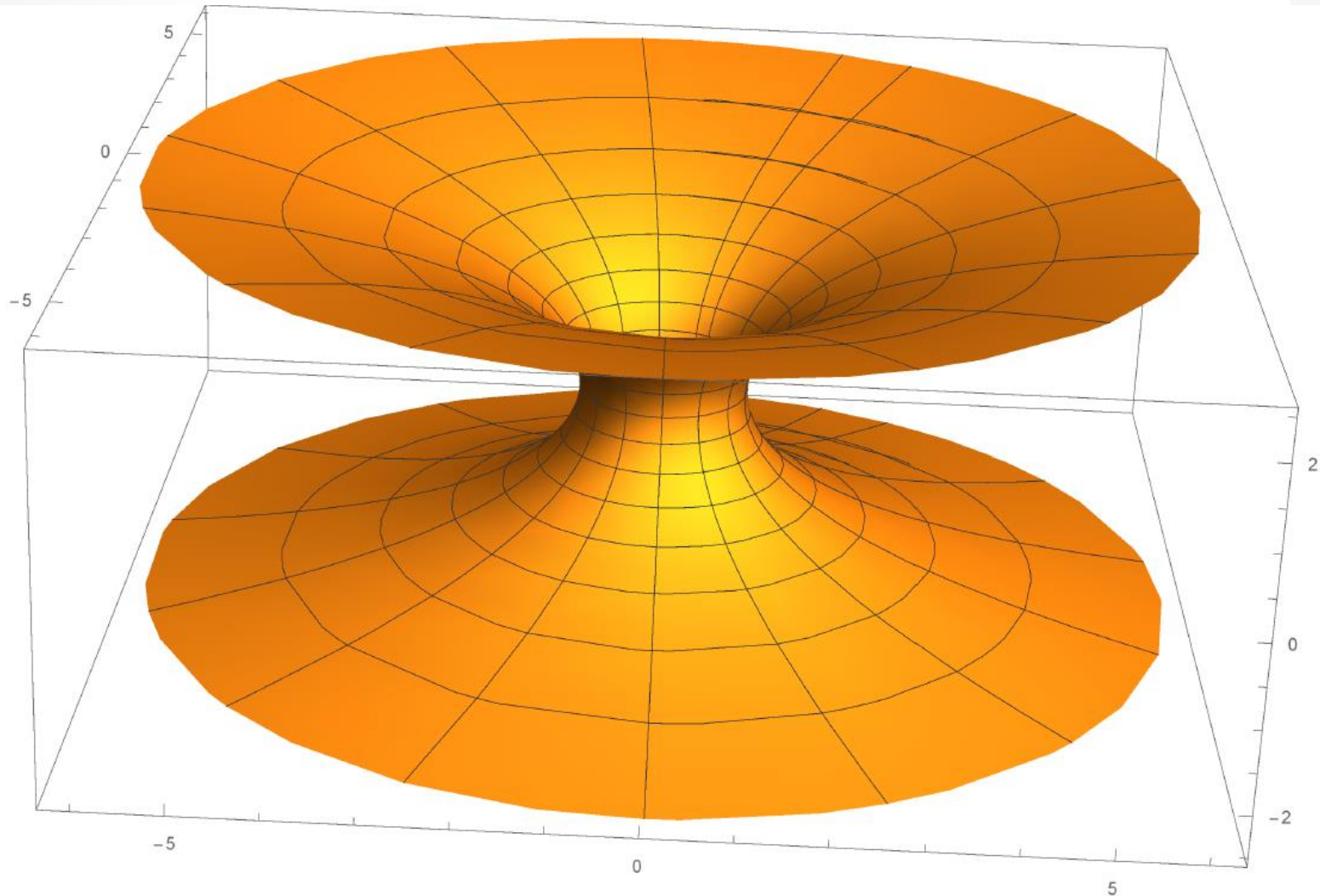


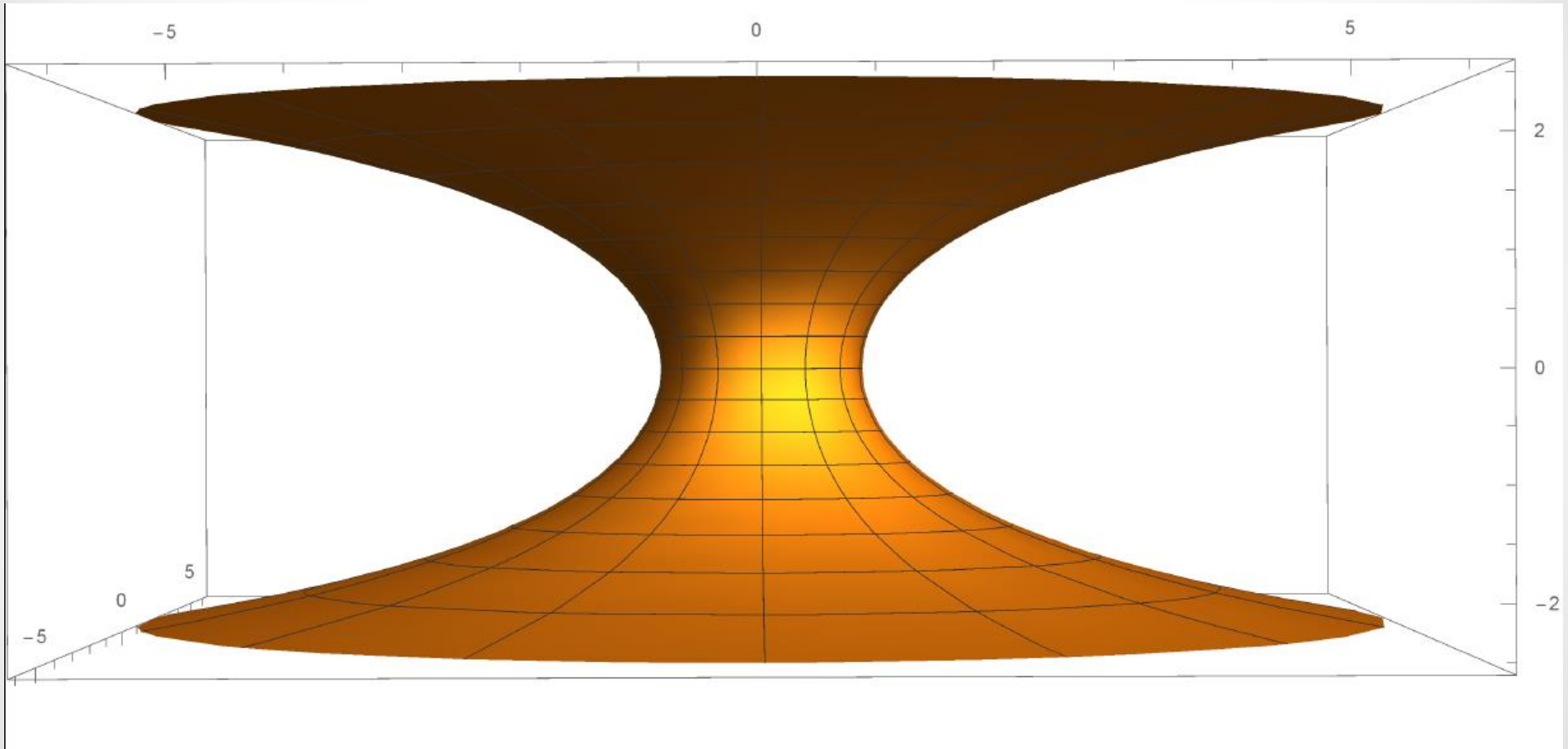


Kettenfläche (Katenoid):

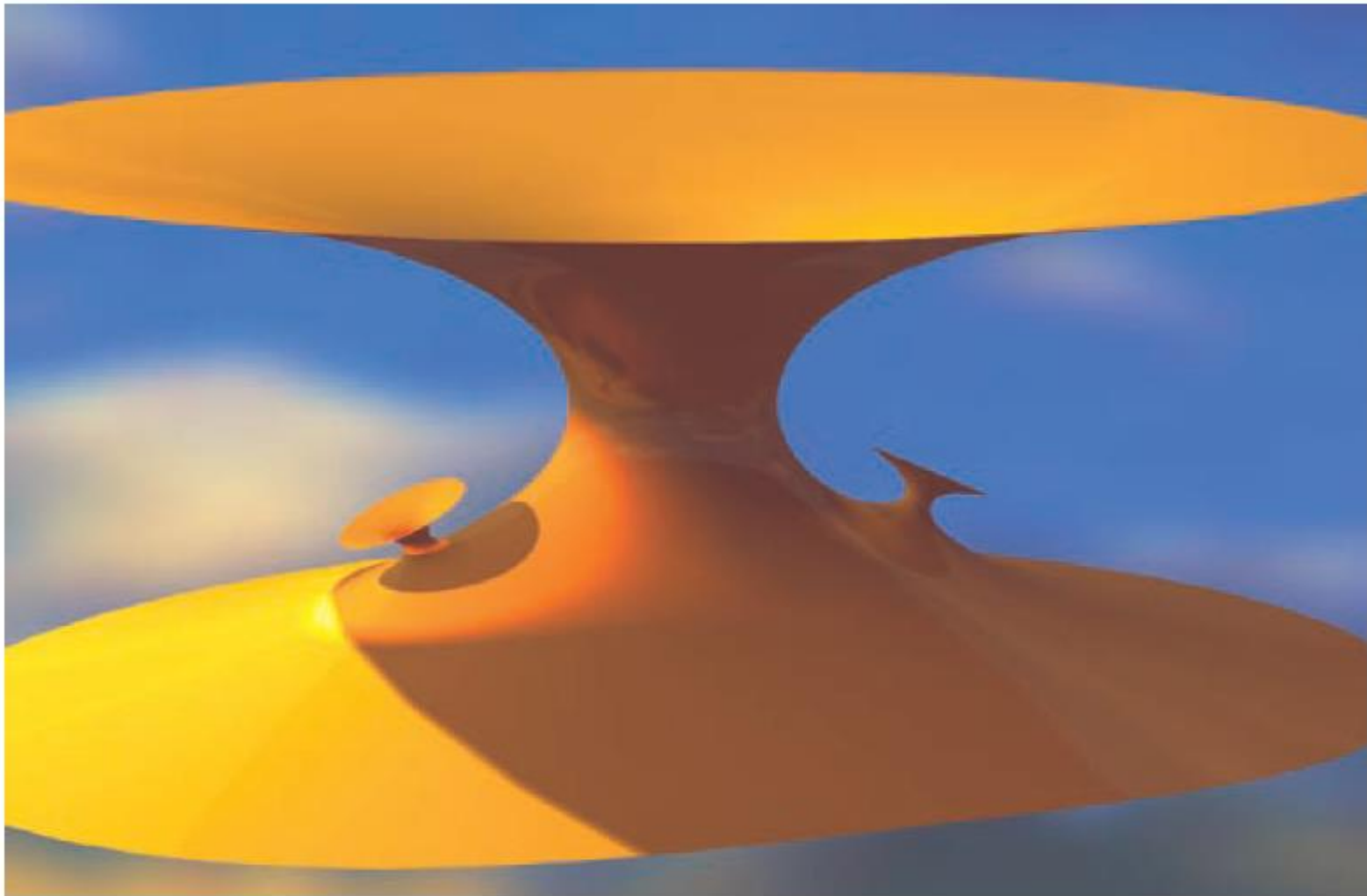
$$F : \mathbb{R}^2 \rightarrow \mathbb{R}^3$$

$$F(u^1, u^2) = \begin{pmatrix} \cosh(u^1) \cos(u^2) \\ \cosh(u^1) \sin(u^2) \\ u^1 \end{pmatrix}$$

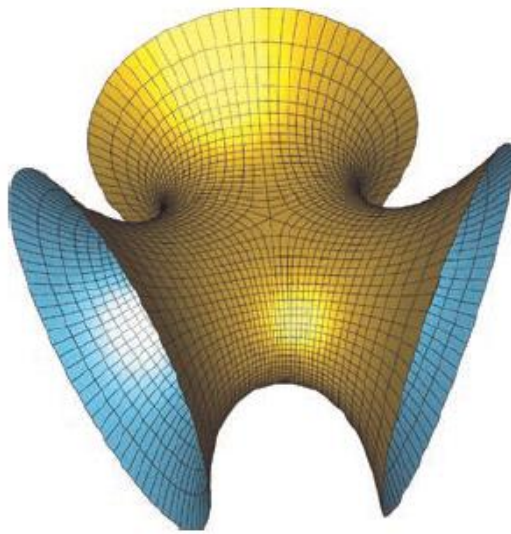




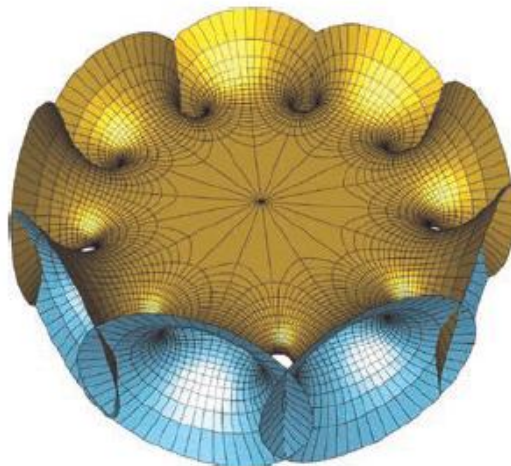
Variationsreichtum des Katenoids:



Bidenoid-Fläche von Karcher



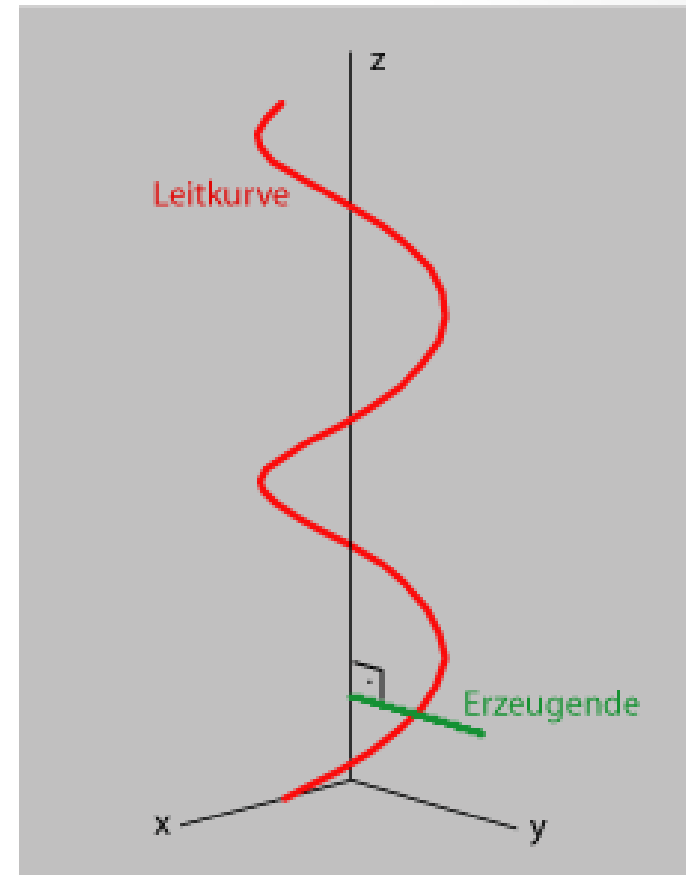
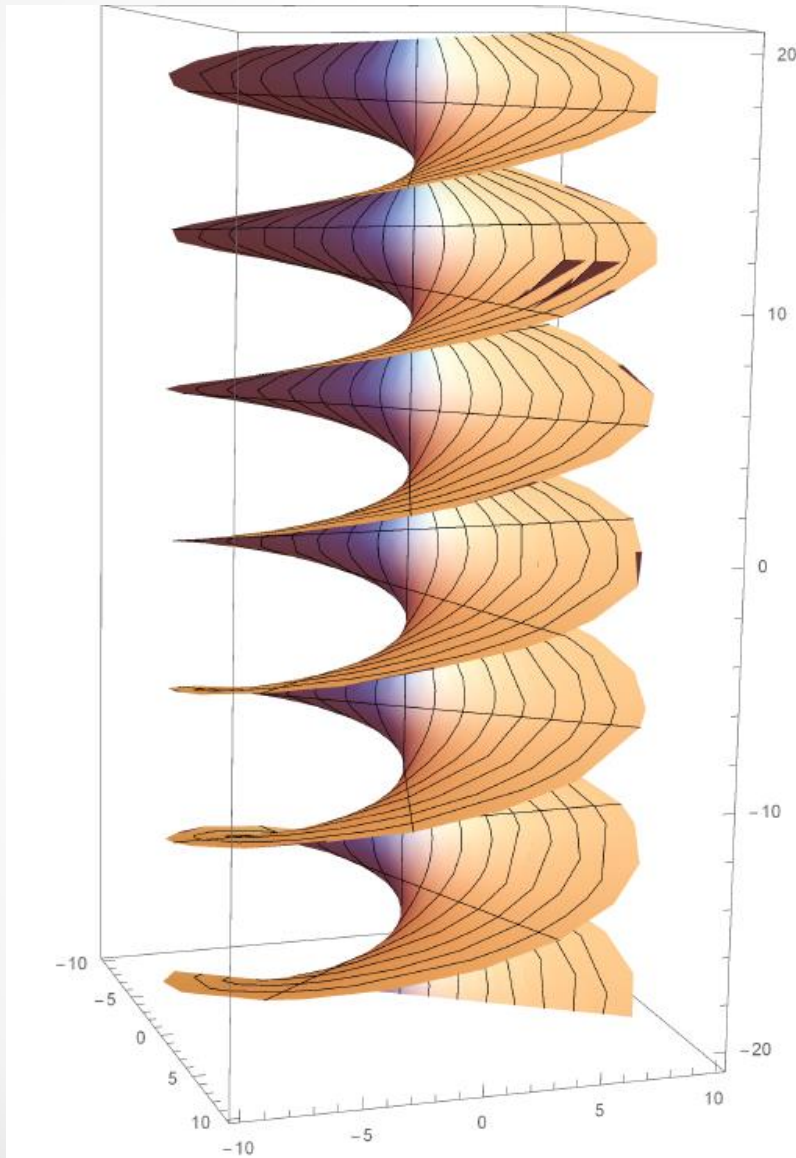
Jorge-Meeks Trinoid (oben) und
9-noid (unten)

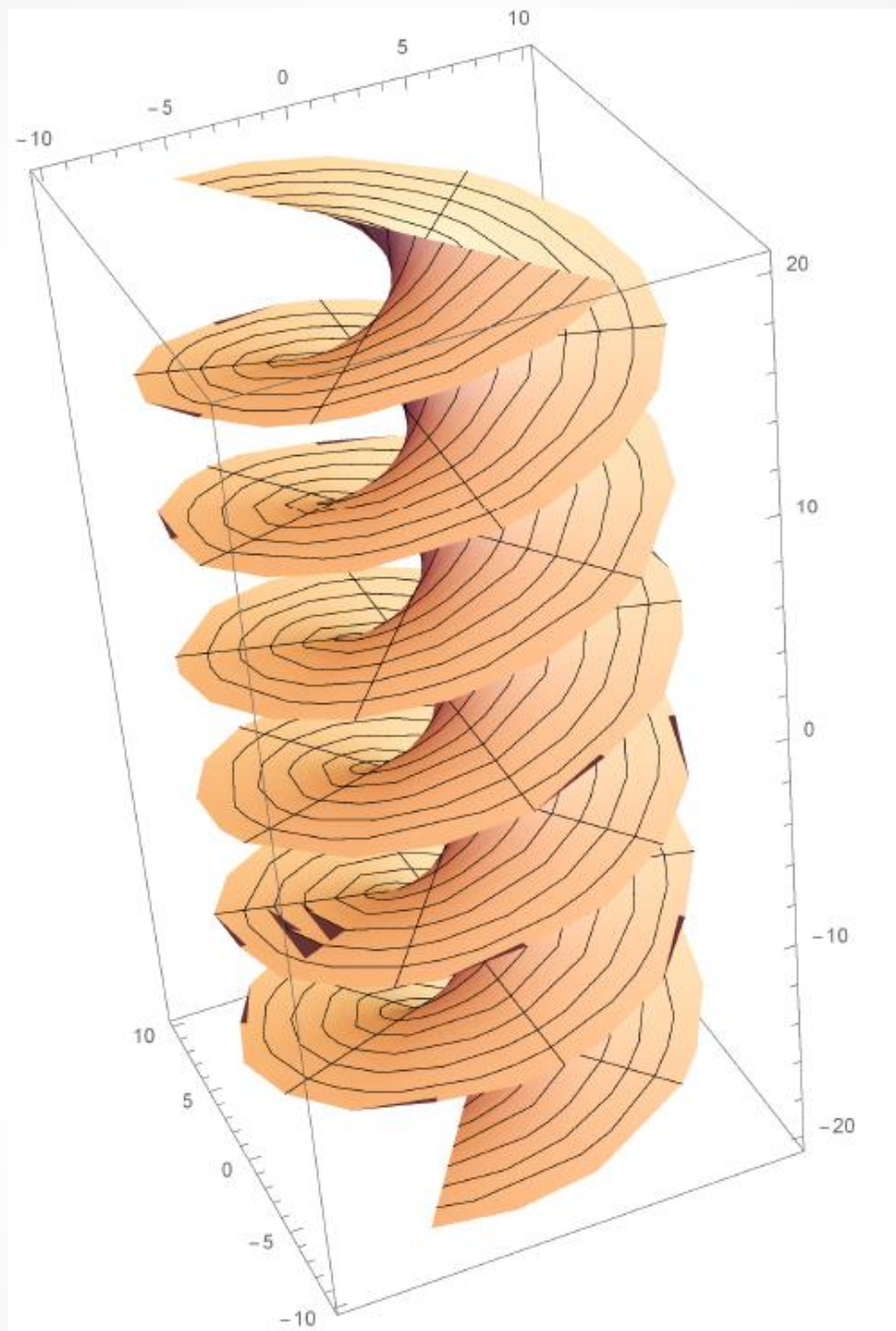


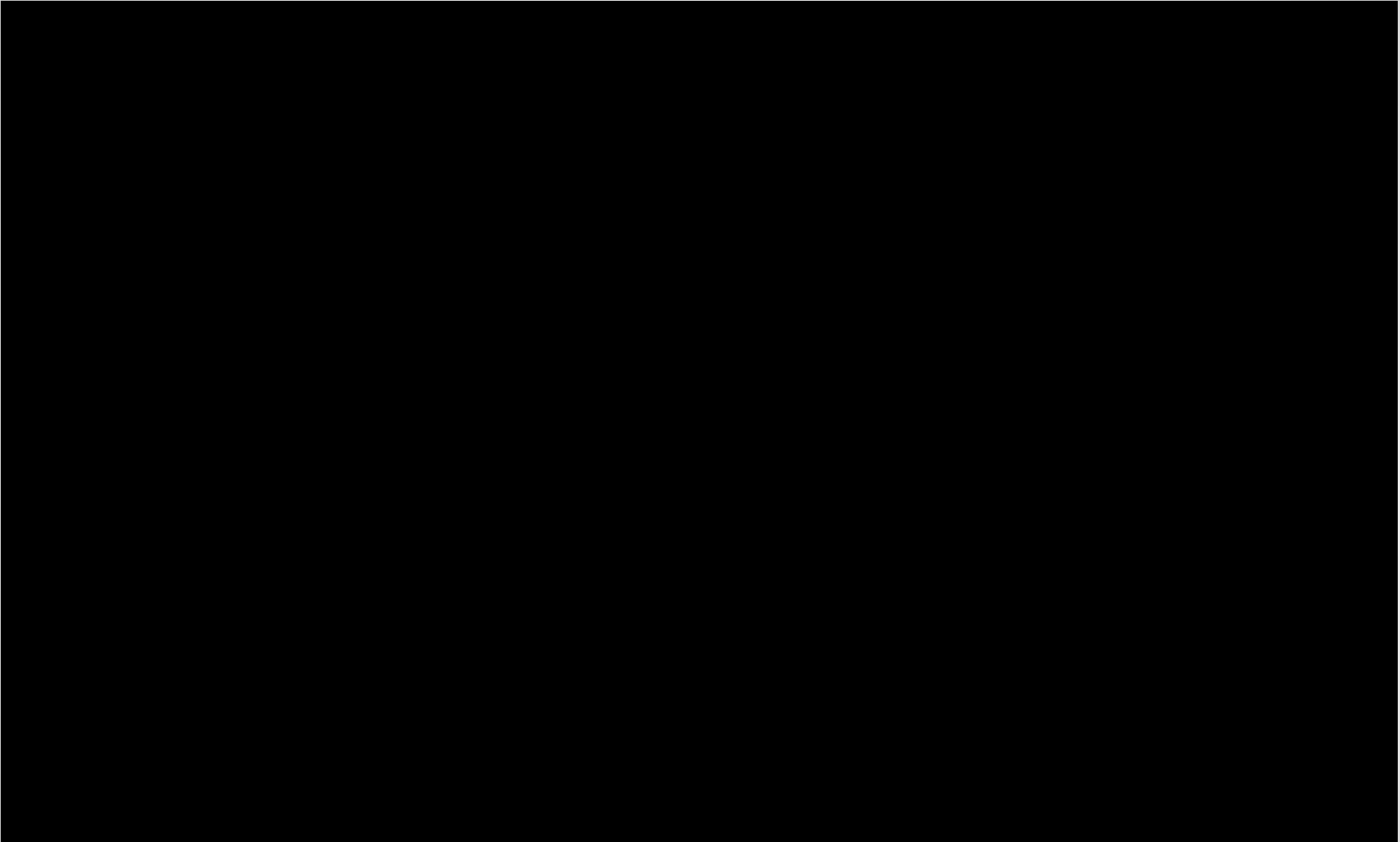
Wendelfläche (Helikoid):

$$F : \mathbb{R}^2 \rightarrow \mathbb{R}^3$$

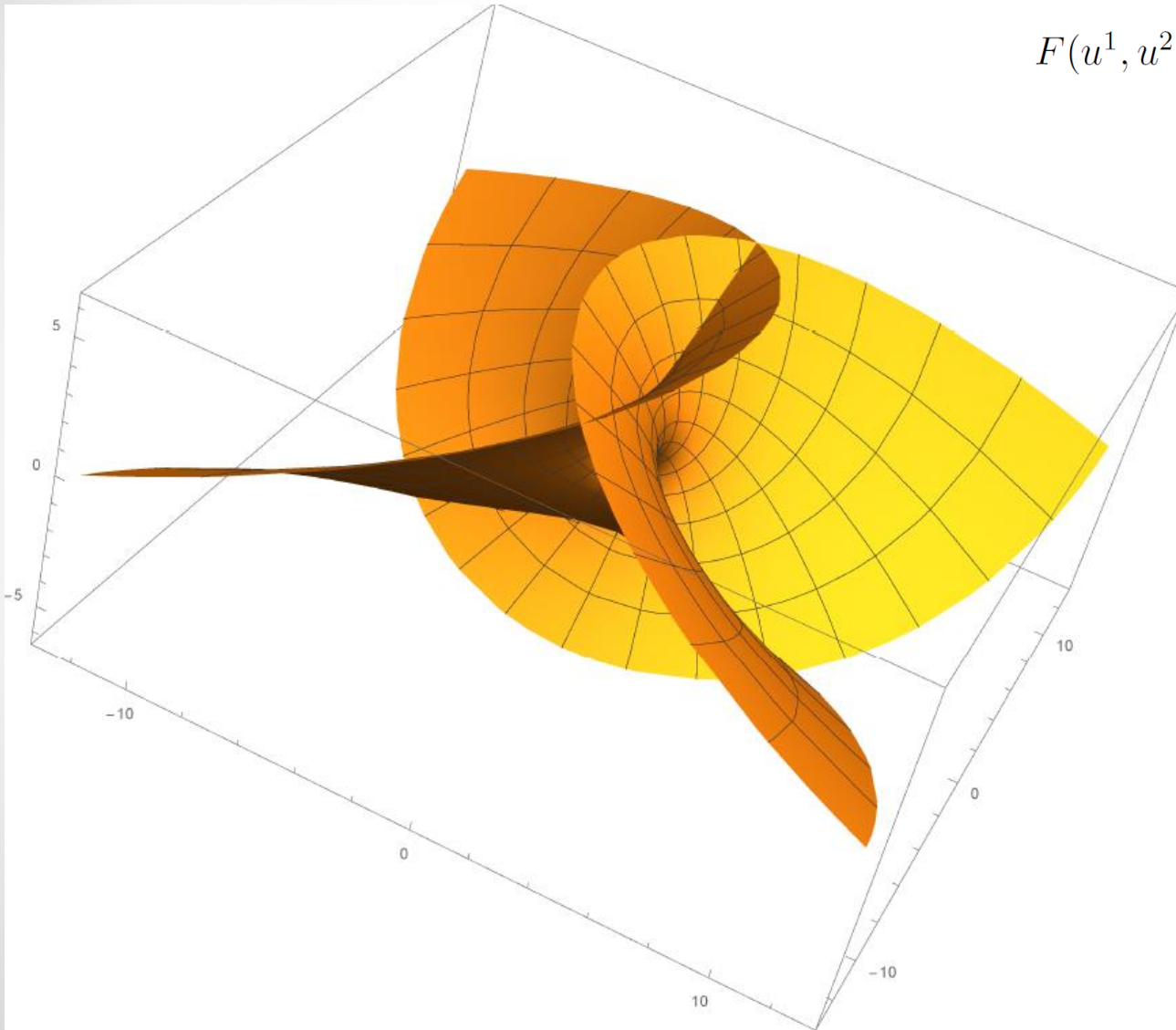
$$F(u^1, u^2) = \begin{pmatrix} u^1 \sin(u^2) \\ -u^1 \cos(u^2) \\ u^2 \end{pmatrix}$$





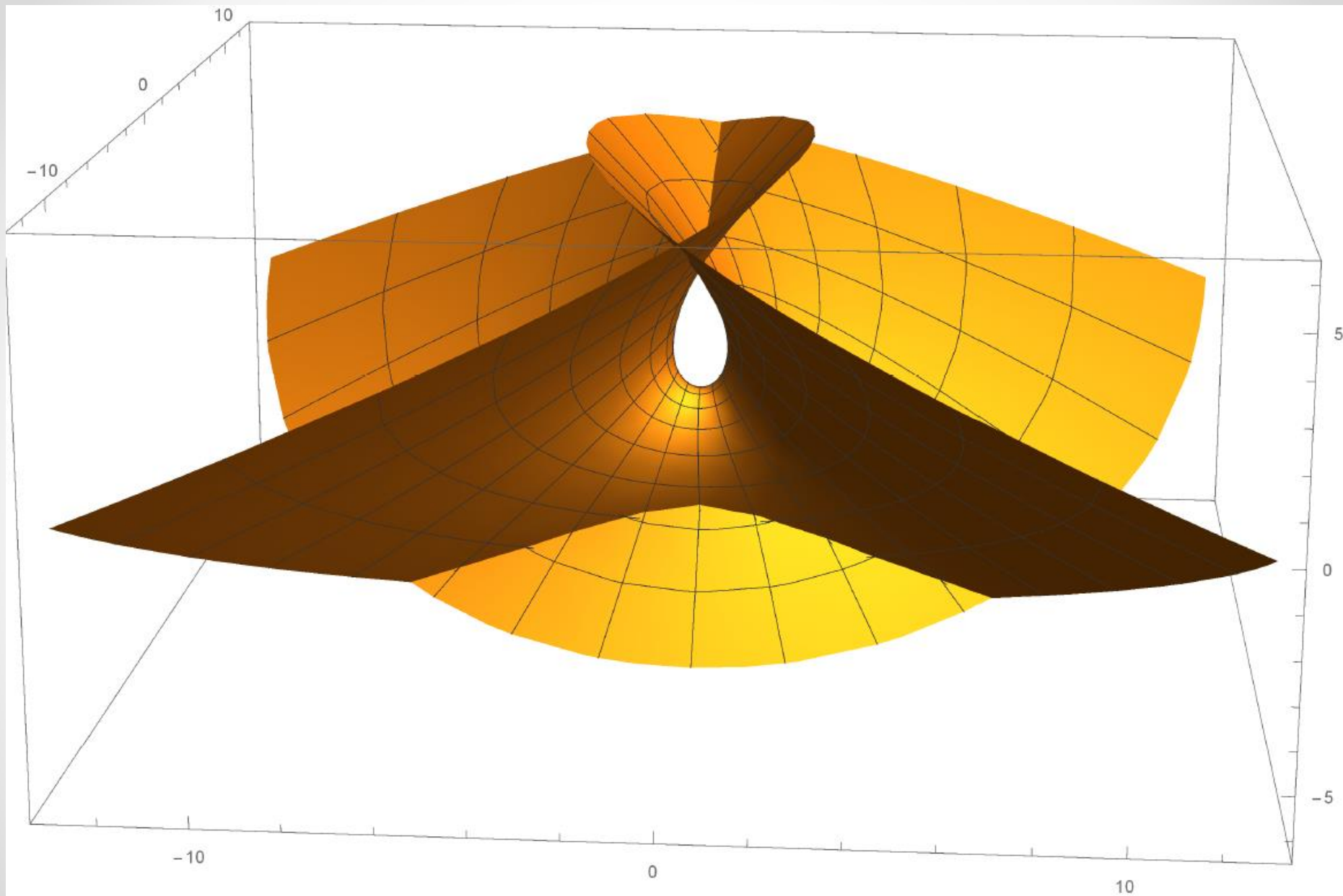


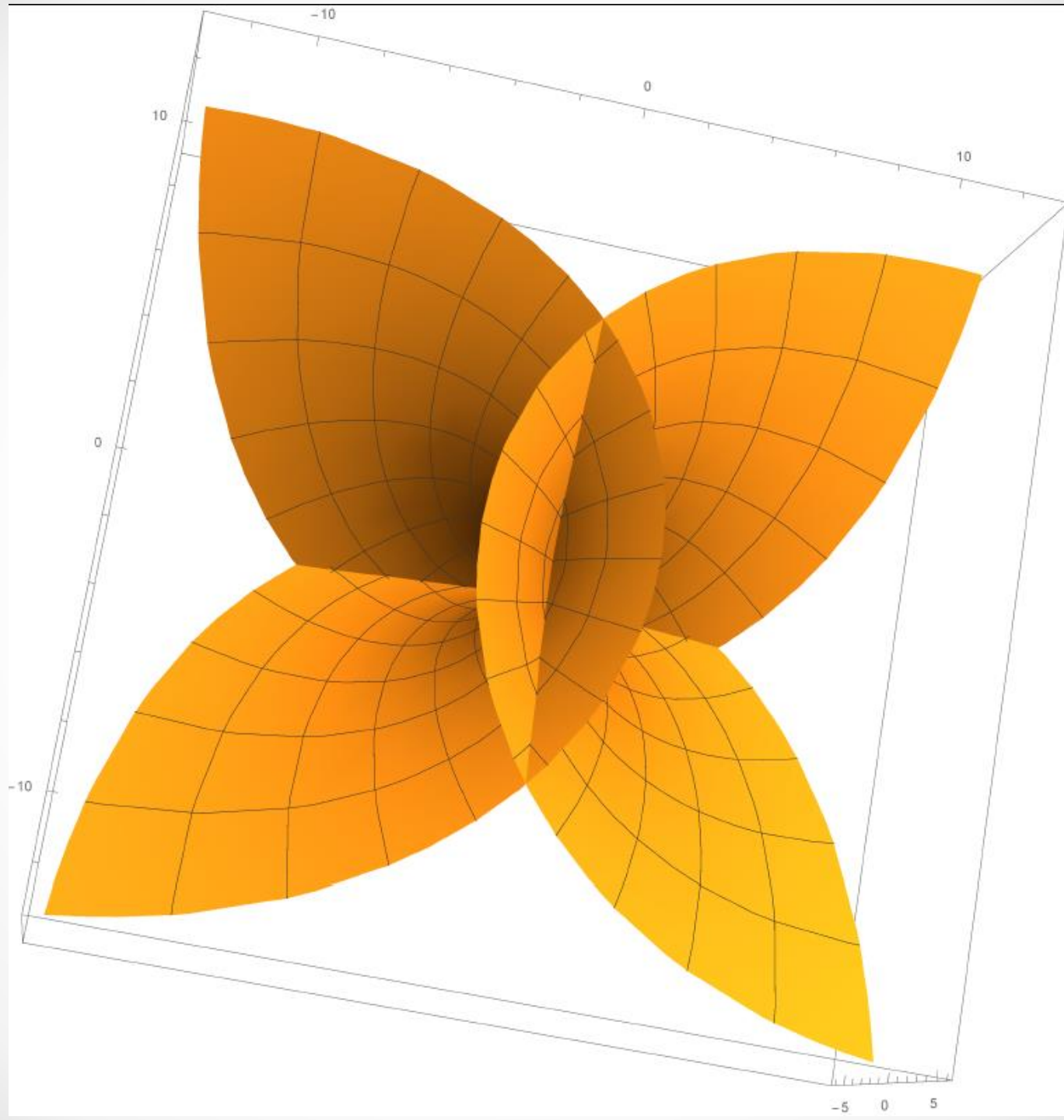
Enneper-Fläche:



$$F : \mathbb{R}^2 \rightarrow \mathbb{R}^3$$

$$F(u^1, u^2) = \begin{pmatrix} u^1 - \frac{(u^1)^3}{3} + u^1(u^2)^2 \\ u^2 - \frac{(u^2)^3}{3} + u^2(u^1)^2 \\ (u^1)^2 - (u^2)^2 \end{pmatrix}$$





Satz 3.8.15. *Für jede reguläre Fläche gilt*

$$K \leq H^2.$$

Insbesondere gilt für die Gaußkrümmung von Minimalflächen

$$K \leq 0.$$

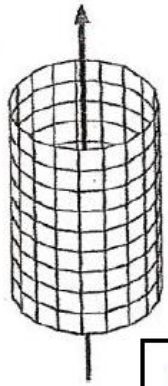
Korollar 3.8.16. *Es gibt keine kompakten Minimalflächen.*

Satz 3.6.17.: Sei $S \subseteq \mathbb{R}^3$ eine kompakte nicht leere reguläre Fläche. Dann besitzt S einen Punkt p mit $K(p) > 0$.

Drehflächen

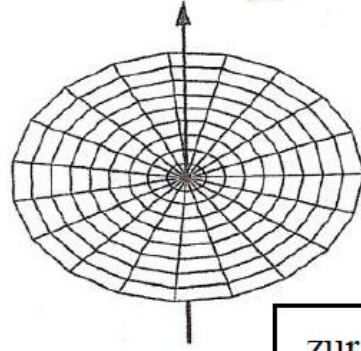
Eine Drehfläche entsteht, falls eine ebene Kurve, welche beispielsweise in der x - z -Achse liegt, um die z -Achse rotiert. Lässt sich die ebene Kurve durch die Parametrisierung $t \mapsto (r(t), t)^\top$, $t \in I$ beschreiben, so erhält man eine lokale Parametrisierung der zugehörigen Drehfläche durch

$$F(t, \varphi) = \begin{pmatrix} r(t) \cos(\varphi) \\ r(t) \sin(\varphi) \\ t \end{pmatrix}, \quad t \in I, \varphi \in (\varphi_0, \varphi_0 + 2\pi).$$

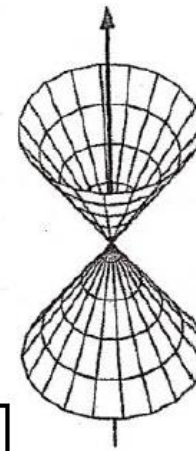


Kreiszyylinder

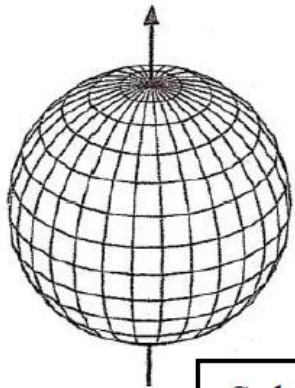
$r=b$ falls $a=0$



zur Drehachse
orthogonale Ebene
(falls $|a| = 1$)

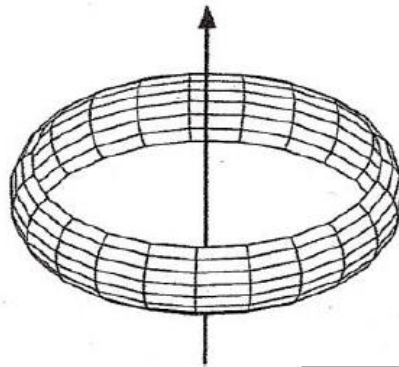


doppelter
Kreiskegel
($0 < |a| < 1$)



Sphäre

($a^2 K = 1$)



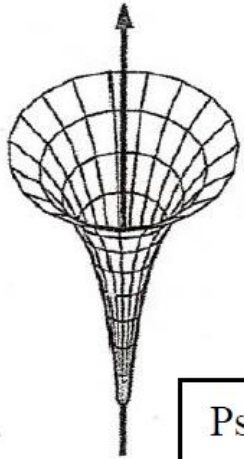
Wulsttyp

($a^2 K > 1$)

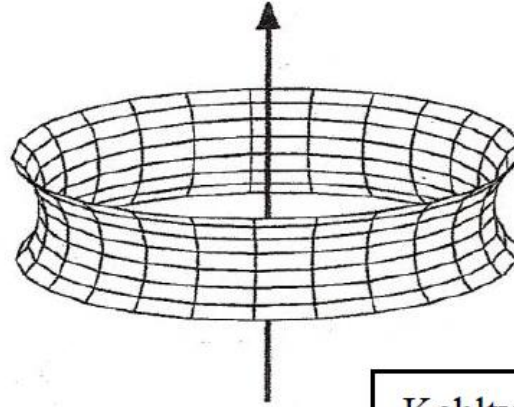


Spindeltyp

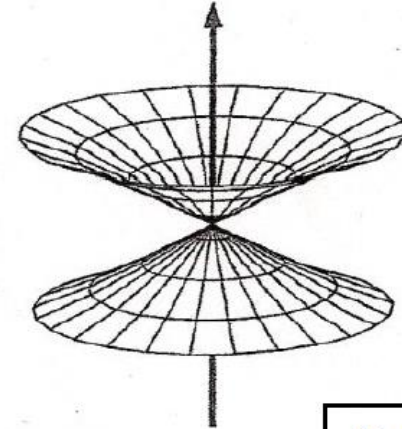
($0 < a^2 K < 1$)



Pseudosphäre
($a = b$; $K = -1$)



Kehltyp
($b^2 < a^2$)



Kegeltyp
($b^2 > a^2$)

<http://www.math.uni-leipzig.de/~rademacher/Vortrag6.pdf>

Eine Drehfläche entsteht, falls eine ebene Kurve, welche beispielsweise in der x - z -Achse liegt, um die z -Achse rotiert. Lässt sich die ebene Kurve durch die Parametrisierung $t \mapsto (r(t), t)^\top$, $t \in I$ beschreiben, so erhält man eine lokale Parametrisierung der zugehörigen Drehfläche durch

$$F(t, \varphi) = \begin{pmatrix} r(t) \cos(\varphi) \\ r(t) \sin(\varphi) \\ t \end{pmatrix}, \quad t \in I, \varphi \in (\varphi_0, \varphi_0 + 2\pi).$$

Danke!